

大兴安岭北部 大地构造特征及其多旋迴发展过程

李 廷 栋

1956—1959年，中国科学院黑龙江流域综合考察队大兴安岭地质队在大兴安岭西北部进行了地质考察。1960年，地质部大兴安岭东坡地质队又在大兴安岭东北部进行了地质矿产调查。本文即根据过去五年两个队调查的有关资料，经过综合研究而写成的。所述范围为北纬 49° 以北，额尔古纳河与嫩江之间的地区。

一、大兴安岭的大地构造性质問題

自19世纪末叶以来，不少中外地质、地理学家曾研究和論述过大兴安岭的地质构造，但他们的观点十分分歧。在探讨该区地质构造的启蒙阶段，由于缺乏实际資料，大部分学者往往由现代的地形分析入手，或根据零星的調查以及与邻区資料的对比，来論述大兴安岭的构造性质，故多偏重于对大兴安岭成因的解释。

过去一些地质学家对大兴安岭构造性质的看法，归纳起来大致有三种观点：1) 认为本区属华力西地槽褶皺带；2) 认为属燕山褶皺带；3) 把它当作“活化地台”或“地洼区”。

表1 各地质学家对大兴安岭北部构造单元划分对比表

作者 分区	汲汲清等 1960	中国科学 院地质研 究所 1959	馬杏垣等 1951	喻德满 1959	陈国达 1960	宁奇生 1960	M. C. 纳吉宾娜 1960	B. M. 西尼村 1957	A. C. 霍敏多 夫斯基 1955	本文 作者
构造性質	华力西地 槽褶皺 带，蒙古 大兴安岭 褶皺系	古生代褶 皺区	天山—内 蒙地槽系 大兴安岭 地槽	北满过渡 地块的一 部分，加 里东或华 力西带复 活地槽	地洼区， 东北地 洼的一 部分	华力西褶 皺带，蒙 古—鄂霍 次克带的 一部分	东亚华力西 褶皺系的一 部分，受上 中生代断块 运动的强烈 影响	震旦地 层上的燕 山运动带	祁连兴 安华力西 褶皺带	华力西地 槽褶皺基 础上的中 新生代隆 起切陷区
构 造 分 区	额尔古纳 坳陷	额尔古纳 坳陷	额尔古纳 早海西地 背斜	海拉尔早 海西地向斜	兴安海 西褶皺 带	额尔古纳 隆起(夏 背斜)	额尔古纳 隆起	贝加尔 海褶带	大兴安 岭褶带	上黑龙 江坳陷
	额尔古纳 褶皺带	额尔古纳 背斜			兴安洼 隆					额尔古 纳隆起
	海拉尔褶 皺带	海拉尔褶 向斜	海拉尔早 海西地向斜			海拉尔坳 陷(复向 斜)	大兴安 岭坳陷	震旦地 层上的燕 山运动带		海拉尔 坳陷
	阿尔山褶 皺带	阿尔山褶 背斜	阿尔山早 海西地 向斜			阿尔山—巴 林隆起(大 兴安岭轴部 复背斜)	上甘河隆 起 大兴安岭 轴部 复背斜			上嫩江 隆起
	呼伦贝尔 凹陷	呼伦贝尔 内陆断陷		蒙古海西 褶皺带		呼伦贝尔 (孔齊諾 尔)盆地				呼伦贝尔 新断陷
	松辽中坳 陷	松辽台向 斜	东北地槽系 松辽地块	松辽凹 陷			松辽南斜 (新生代)	东北地 块	东北凹 陷	松辽中 新断陷

近年来,由于在該区进行了大规模的地質調查,熟悉了邻区的地質資料,这才为正确理解与闡述本区的构造性质,提供了条件,各家的观点也漸趋一致。目前,大部分中外地質学家認為大兴安岭属于华力西地槽褶皺带。但是,在构造单元划分上,仍然存在着分歧(表1)。

詳細調查研究的結果証明,大兴安岭是中国地台与西伯利亚地台之間巨大的“蒙古-鄂霍次克褶皺带”的一部分。在地質构造上,与属于同一个大的构造单元的苏联东外貝加尔、黑龙江上游左岸以及蒙古人民共和国东部,有許多共同之点,但也具有自己的若干特点。

詳細研究的結果还証明,本区地質构造及其发展历史相当复杂,并不是一个单旋迴的褶皺带,也不是“活化地台”,而是一个具有明显多旋迴运动的构造活动带。

二、构造的多旋迴发展过程(表2,图1)

在漫长而复杂的构造发展过程中,本区出現了一系列不同类型的沉积建造、构造变形以及不同时代的岩浆活动。根据不同时代、不同类型的沉积建造、构造性质、变质作用以及岩浆活动等,可以把本区构造的发展划分为两个大的阶段:准地槽发育阶段及准地台发育阶段。前者至少包括了阿森特、加里东及华力西三个旋迴,后者则包括了燕山亚旋迴和喜馬拉雅亚旋迴。

(一) 阿森特旋迴

区域內前寒武系出露很少,見于額爾古納河中、上游,北二次河下游,盘古河、嫩江以及甘河上游等地。均零星分布于隆起地区。它們为一套深变質、強烈揉褶了的片麻岩、石英岩及結晶片岩系,部分地区,夹有富含鎂質的硅化大理岩、蛇紋石化大理岩及片理化的火山噴发岩。出露厚度450—3,200米。这套岩系除了可以与苏联东外貝加尔岩性类似的前寒武系进行对比以外,我們曾在北二次河下游的变質砂岩中采集了孢粉样品,經鑑定发现三个外形近似震旦紀的孢子 *Leioletoes glumaceus*。尚瑞鈞等^[2]在佳疙瘩附近产于該岩系之上的早古生代沉积中发现寒武紀的孢子 *Leiosphaeridium ceras*。前寒武系与上复地层的接触关系很少見及,仅在額爾古納河上游白素苦兰山附近,見其以角度不整合伏于下古生界之下(图2)。

由于寒武紀以来多次岩浆活动、断裂变动以及伴随而来的接触变質及动力变質作用的強烈影响,在頗大程度上模糊了前寒武紀构造的原始特征及区域变質作用。尽管如此,根据現有資料仍可看出,前寒武紀构造具有以下特点:区域变質及褶皺作用強烈,形成直線状的緊密褶皺,部分尚有明显的揉褶現象,翼部傾角很大;花崗岩化及混合岩化作用显著而广泛;构造方向主要为东西向或北东东向。

伴随前震旦紀末期的构造运动,有岩浆侵入活动,侵入岩大部分已变为花崗片麻岩及片麻状花崗岩类。北二次河中游的閃长片麻岩,經絕對年齡測定,年代为9.5±1亿年,相当元古代末期或震旦紀初期。

由上述一些有限的資料看來,这套深变質岩及侵入岩最大的可能属于震旦紀,即相当阿森特旋迴的产物。其中很可能包括了更老的岩系。

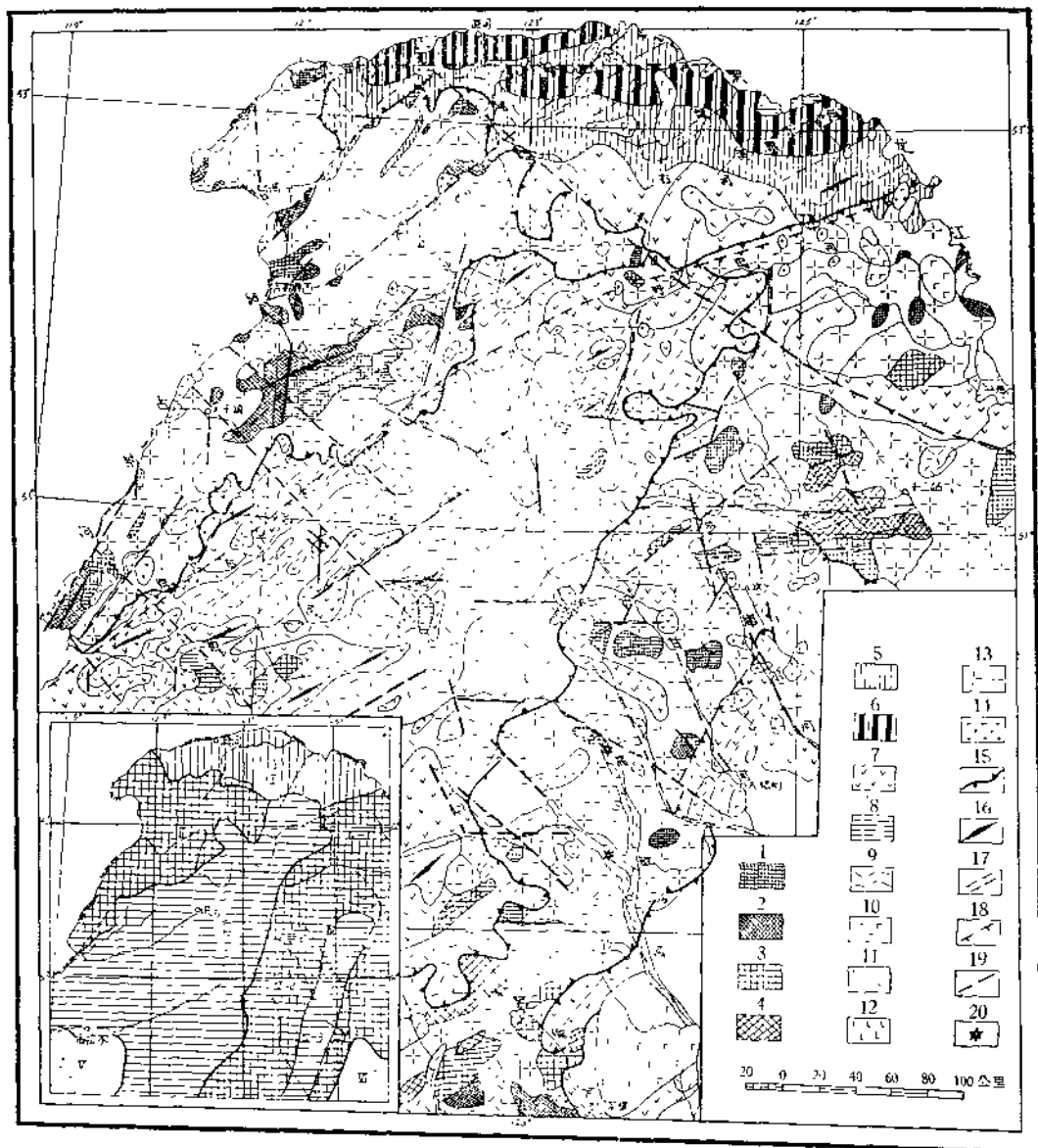


图1 大兴安岭北部构造略图

華力西期地槽羅謬基底：1. 前寒武系构造层：下部以各类片麻岩为主，夹结晶片岩及大理岩；上部主要为结晶片岩，夹强烈片理化的火山碎屑岩。2. 下古生界构造层：主要为碳酸盐建造、泥质页岩建造及砂页岩建造。3. 中古生界构造层：包括泥盆系及下石炭统。主要为泥质页岩建造、砂页岩建造及碳酸盐建造，上泥盆统主要为火山碎屑岩建造。4. 上古生界构造层：包括中石炭统一二达系，主要为砂页岩建造。

地台盖层：5. 中上侏罗统构造层下亚层：陆源性质的砾岩、砂岩建造。6. 中上侏罗统构造层上亚层：砂页岩建造及泥质、灰质页岩建造为主。7. 上侏罗统构造层：主要为陆相中基性火山岩建造，伴少量中酸性火山岩，局部地区夹火山-沉积岩及沉积岩。8. 下白垩统构造层下亚层：北部为砾拉石建造，南部为火山-沉积岩建造。9. 下白垩统构造层上亚层：主要为陆相火山碎屑岩建造，伴少量中酸性熔岩。10. 上白垩统一下第三系：以玄武岩为主，局部地区有中性及酸性火山熔岩。11. 上第三系：松散砂砾沉积。12. 第四纪玄武岩。13. 华力西期花岗岩类：以黑云母花岗岩，斜长花岗岩及白岗质花岗岩为主，有少量中性侵入岩类。14. 燕山期花岗岩类：主要为黑云母花岗岩，白岗质花岗岩及各类斑岩。

各种构造符号：15. 隆起及坳陷界线。16. 背斜轴线。17. 构造线方向。18. 深断裂。19. 断裂。20. 水出口。

構造單元： I. 上黑龙江坳陷； II. 额尔古纳隆起； III. 海拉尔坳陷； IV. 嫩江隆起； IV-1 呼伦河凸起； IV-2 上甘河凸起； IV-3 大杨树断陷； V. 呼伦贝尔凹陷； VI. 松辽中新坳陷。

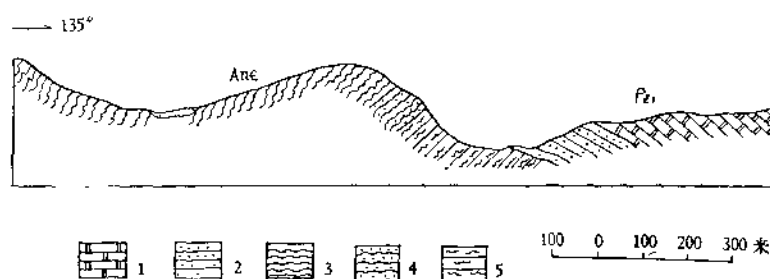


图 2 白索苦兰山前寒武系与下古生界之間的不整合接触

1. 灰色及灰白色大理岩及硅化大理岩；2. 暗灰色石英岩；3. 銀灰及綠色結晶片岩；
4. 灰白及暗灰色云英岩化石英岩；5. 片麻岩。

(二) 加里东旋迴

与前寒武紀构造相似，区域内的加里东期构造也殘留不多，零星出露于隆起地区，如額爾古納河中上游、北二次河下游、大林河中游及甘河上游等地。

代表加里东旋迴的早古生代的沉积作用比較均匀，岩相变化不大。早古生代沉积特点是碳酸盐建造与泥质页岩、砂页岩建造交互出現，部分地区尚有片理化的中基性噴发岩。

經过对本区及邻区資料的对比以后发现，下古生界的厚度变化較大。在額爾古納河地区一般为 4,000 米；在甘河、多布庫尔河上游 1,000—3,000 米；苏联东外貝加尔东南部約 7,000 米；大兴安岭中部为 6,700 米。这些实际資料說明，在加里东期，地槽内部的构造分异活动已很明显，使地槽区分解为活动性质及强度不同的构造带。那时，額爾古納隆起及上嫩江隆起处于内地背斜环境，上黑龙江坳陷、海拉尔坳陷以及东外貝加尔的中央带可能为内地向斜。

加里东期与华力西期构造在本区很难区分，可以作为划分标志的仅仅是沉积建造、岩石的变质程度及侵入活动的强度。根据現有資料看來，加里东期以褶皺作用为主，一般形成綫状的对称褶皺(图 3)，部分地區出現复杂的短軸状褶皺。二级及更次級的褶皺有时

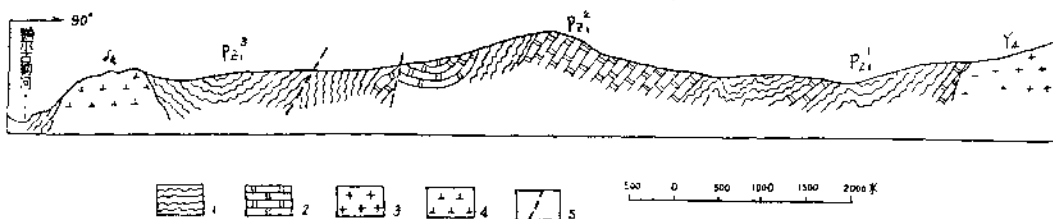


图 3 北二次河下游下古生界剖面图

1. 銀灰色及灰綠色二云母石英片岩，云母角閃片岩，綠泥石片岩(Pz²)綠泥石片岩，石榴石綠泥石片岩，云母石英片岩，黑云母角閃石片岩，石墨化片岩(Pz¹)；2. 白色粗粒大理岩，条带状大理岩；
3. 华力西期灰白色黑云母花岗岩；4. 华力西期閃长岩；5. 断层。

呈不調和狀、梳狀或其它不規則的形狀。褶皺走向一般為北東或北東東，個別呈北北東向。翼部傾角 30°—50°。侵入體附近，褶皺構造特別複雜，常產生更次級的褶皺，有時出現揉褶。加以大量岩脈的穿插，往往使侵入體附近的岩石遭受強烈的接觸變質，變為混合

岩、结晶片岩，甚至片麻岩。

加里东运动的存在可以根据下古生界与泥盆系之间的不整合来确定。与本区下古生界下碳酸盐组（见表2）相当的苏联东外贝加尔的“乌洛夫岩系”的上部含有丰富的早寒武世的古杯类及 *Osagia* 藻类化石^[17]。而相当于本区上碳酸盐组的涅尔琴斯克查沃得组的上部含有志留纪温洛克期化石：*Tuvaella rackingii*, *Dalmanella* sp., *Leptaena* cf.

表2 大兴安岭北部地质构造发展特征

构造发展阶段		地层发育情况	沉积建造	岩浆活动	构造特征
准地台发展阶段	喜马拉雅山系	全新统	残积、坡积、冲积、堆积		全区范围的间歇性上升运动为主，形成多级河谷阶地，构造分异作用不明显；有断裂活动，方向以北东向为主；火山活动已很微弱，侵入活动已经绝迹；无变质作用
		更新统	古阶地冲积物	东部有义武岩喷溢并伴有浮岩	
	阿尔泰山系	上第三系	50米左右	冲积砂砾及粘土沉积	
		下第三系	500米左右	玄武岩及部分中基性熔岩，松散砂砾及粘土沉积，局部为含砾及铁锰沉积	玄武岩及部分中酸性火山岩喷发
	华夏山系	上白垩统		陆相火山碎屑岩建造及火山沉积岩建造，有火山熔岩夹层，局部地区有含砾沉积	强烈的酸性火山岩喷发，有中酸性火山熔岩喷出，酸性浅成岩的侵入
		下白垩统	图们河组 1400—2300米		陆相中基性火山熔岩为主，局部夹火山沉积岩及含砾沉积
	燕山山系	上侏罗统	银河组 1200—2700米		强烈的中性及中基性火山熔岩喷溢，酸性及中酸性岩的侵入活动很普遍
		中侏罗统	阿穆尔河组 7000米左右	房拉石建造、砂页岩建造及泥质、炭质页岩建造	房拉石建造、砂页岩建造及泥质、炭质页岩建造
		下侏罗统			可能有岩浆侵入活动
		二迭系			
准地槽发展阶段	华力西山系	二迭系	5000米	主要为类复礁石建造及砂页岩建造	酸性及次磁性岩的侵入
	石炭系	中上统			大规模的酸性岩的侵入活动，梁云母花岗岩为主，其次为针长花岗岩、斜长岩及白岗岩
		下统	澜沧泉组 375—1200米	砂页岩建造及碳酸盐建造	
	泥盆系	上统	白山组 3000米	火山碎屑岩建造为主，夹中酸性熔岩、泥质页岩及灰岩	地槽型中性及中酸性火山喷发
		中统			
	奥陶系	图们组	龙门组 1100—6100米	泥质页岩建造、砂页岩建造及碳酸盐建造	
		下统			
	古昆东山系	下古生界	上橄榄盐组 1500米 下橄榄盐组 150米 下碳酸盐组 900米 下矽质片岩组 850米	碳酸盐建造为主，夹砂岩及页岩建造与上，类碳酸盐类岩石及碳酸盐建造为主，夹砂岩及页岩及矽质片岩建造与下，夹碳酸盐岩	局地区花岗岩类的侵入活动，并伴有一定规模型火山喷发
	阿森特山系	前寒武系	450—3200米	上部：结晶片岩为主，夹大理岩及变质火山岩 下部：各类片麻岩为主，夹结晶片岩	花岗岩类侵入及火山喷发

* 主要指震旦纪与寒武纪之间的微皱运动，因无更合适名称，故暂采用“阿森特”一名。

rhomboidalis, *Stropheodonta* sp., *Stegorhynchus desemplicatus* var. *anguciensis*, *Camarotoechia* sp., *Atrypa* sp., *Spirifer* cf. *pedaschenkoi*, *Eospirifer* sp.^[18]。而本区的吉勒穆图羣則含有大量泥盆紀化石。因此,加里东运动主要发生在志留紀晚期。

加里东运动还可以根据同期侵入活动的存在来証实。額爾古納河河口西口子附近的斑状黑云母花崗岩經絕對年齡測定,年代为3.25亿年,相当志留紀末期;大兴安岭中部烏奴耳及哈拉哈河右岸志留-下泥盆統底砾岩中发现大量花崗岩的砾石^[9];毗邻的苏联东外貝加尔及蒙古东部均証实有加里东期花崗岩。

另外,本区早古生代較中晚古生代岩石的变質程度普遍加深,也可以作为存在加里东运动的佐証資料。本区的下古生界一般均遭受到中等程度的区域变質作用,泥質頁岩、砂頁岩变質为各种千枚岩、板岩以至片岩,石灰岩变为大理岩或大理岩化灰岩。但中晚古生代的岩石一般变質都很輕微。

(三) 华力西旋迴

华力西运动在本区表现最为強烈,成为本区构造发展历史的重大轉折点,使本区准地槽的发展达到了頂点,結束了地槽生命。該期构造活动的特点是以褶皺作用为主,侵入活動广泛而強烈,并有火山岩的噴发。

加里东运动以后,本区地形相当崎岖,除区域南部及东部以外,大部分地区处于淺海环境,震蕩运动比較頻繁,沉积作用与周期性的沉积間断及局部冲刷相交替,加以华力西期的构造分异活动又比較強烈,因此,华力西期所形成的沉积就十分复杂,岩相及厚度变化都很大。从全区来看,东部及区域以南代表华力西期的沉积岩层出露較全,厚度較大,西北部則相反。例如,小兴安岭西北部多宝山附近仅泥盆系即达7,000余米;嫩江上游的下中泥盆統达6,000余米;罕諾河、南甕河一带的泥盆系約計8,000余米,石炭一二迭系达5,000米;区域以南大兴安岭中部哈拉哈河及綽尔河上游中、上古生界的总厚度为6,070米。区域西北部額爾古納河右岸地区缺失中石炭統一二迭系,泥盆系总厚度不过3,600余米,下石炭統的最大出露厚度只有1,200米;甘河及諾敏河中上游一带的中、上古生界的总厚度只有1,000—3,000米^[1]。

华力西阶段的沉积主要是泥質頁岩、碳酸盐及类复理石建造,区域东南部于晚泥盆世、部分地区在石炭二迭紀时曾有海相火山岩的噴发。这些沉积岩与火山岩均遭受到輕微的变質作用。地层时代主要是根据其所含化石及与邻区对比来确定的。在本区泥盆系中會发现 *Muerospirifer* sp., *Leptocoelia* cf. *flabellites* 等化石^[2], 据报导^[2], 在大兴安岭中部类似地层中會找到丰富的泥盆紀的腕足类、珊瑚、苔蘚虫及海百合等化石。在紧邻的苏联洛夫河下游及其以北岩性相似的泥盆紀地层中含有: *Atrypa aspera*, *A. ex. gr. reticularis*, *Stropheodonta nobilis*, *Spirifer undiferus*, *Spirifer aff. Zick-zack*, *Schizoplia striatula*, *Reticularia altaica*, *Reticularia cf. clothrata* 等化石^[3]。区域西北部紅水泉附近早

1) 这些厚度資料系根据中国科学院黑龙江流域綜合考察队地質組綜合的材料(1959)和地質部大兴安岭东坡地質队的調查結果(1960)。

2) 化石由地质科学研究院侯鸿飞鉴定。

3) 中国科学院黑龙江流域綜合考察队大兴安岭地質队引証的材料(1960)。

石炭世的红水泉组中产有较丰富的腕足类：*Schellwienella* sp., *Camarotoechia* cf. *aschliariki* Simorin, *Plicatifera kassini* Nal., *Dictyoclostus* sp., *Plicatifera* aff. *borukaevi* Simorin, *Athyris* aff. *angelica* Hall, *Spirifer* aff. *attenuatus* Sow., *Spirifer baiani* Nal., *Spirifer* cf. *sibiricus* Lebedev, *Spirifer* sp., 同时含有少量的苔藓虫：*Lioclema* sp., *Leptotrypa* sp., *Ptylotrypa* sp.; 珊瑚：*Favosites* sp.; 海百合类：*Cyclocyclicus* cf. *circumvalatus* Yelt., *Pentagonocyclicus* sp.¹⁾。在区域东南部的阿伦河上游找到时代相当石炭-二迭纪的植物化石 *Noeggerathiopsis* sp.²⁾。

由地层缺失情况推断：大兴安岭华力西准地槽的封闭时期并不一致。西北部封闭较早，可能在石炭纪早期，东南部则推迟到古生代末期。

华力西运动的结果，在本区形成了四个大致平行的北东向的构造单元，自西北向东南依次为：上黑龙江复向斜、额尔古纳复背斜、海拉尔复向斜、阿尔山复背斜，同时产生一系列的次级褶皱。但由于同期侵入活动及中生代以来的断裂变动，这些褶皱大部分被破坏、或变得极其复杂。褶皱一般是线状延伸，方向多为北东向，大部分为对称状褶皱（图4），部分有平卧及倒转现象，翼部倾角40°左右。

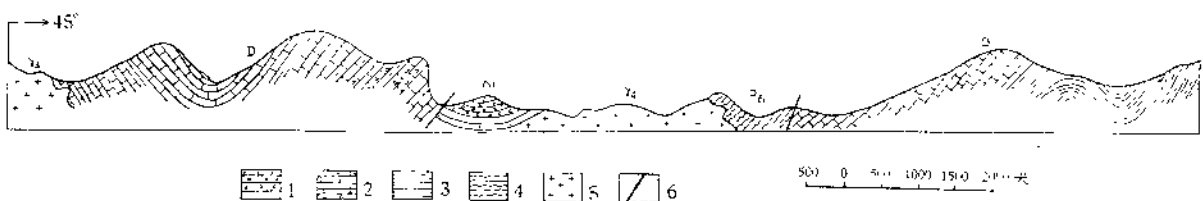


图4 阿巴河中下游泥盆系褶皱形态图

1. 下白垩统紫红色砂砾岩；2. 泥盆系灰色厚层状灰岩角砾状灰岩及泥质灰岩；3. 泥盆系膏盐变质的砂页岩；4. 下古生界各类片岩；5. 华力西期黑云母花岗岩；C. 断层。

伴随华力西较为强烈的褶皱作用，产生大规模的岩浆侵入活动，以致额尔古纳隆起及嫩江西部约80%的面积被该期侵入岩所占据。它们主要是花岗岩类，部分为閃长岩类，一般都呈巨大岩体露出地表。室内外的观察研究及绝对年龄测定资料说明，华力西期侵入活动具有多次侵入的特点。就现有资料至少可以证明大兴安岭北部存在有华力西早期及华力西晚期的侵入岩，至于中期华力西的侵入岩是否存在，则由于本区尚未发现有确切证据的中、晚石炭世地层而尚难肯定。早期侵入岩的岩体规模较大，主要为黑云母花岗岩。不少地区见其侵入泥盆系及下石炭统，并被侏罗系所复盖。有八个岩石绝对年龄测定的结果为2.3—2.7亿年，大约相当于晚泥盆世—早石炭世，即早期华力西亚旋迴的产物。晚期侵入体的规模较小，以碱性或次碱性花岗岩类为特征，其侵入的最新地层为石炭-二迭系，另外有五个样品经绝对年龄测定为1.8—2.2亿年，相当二迭纪。

苏联东外贝加尔地区岩性类似的大批花岗岩类亦证实属华力西期。但根据Г.Л.巴达尔卡(Падалка)¹²⁰⁾报导，在达呼尔构造带，经绝对年龄测定尚鉴定出相当晚二迭世及早、中二迭世的侵入岩，主要为淡色花岗岩、英安次火山岩及碱性、次碱性花岗岩。

1) 这些化石根据118队和中国科学院黑龙江流域综合考察队大兴安岭地质队的调查资料。

2) 该化石系地质部大兴安岭东坡地质队采集，由地质科学研究院周惠琴鉴定。

表 3 华力西期及其以前花岗岩类绝对年龄测定结果

编 号	样品号	采样地点及经緯度	岩 石 名 称	测 定 单 位	绝对年龄 (百万年)	代表的大致 地質年代***
1	10	黑山头以南约100公里十五里堆	灰色中粒黑云母花岗岩	苏联科学院前寒武紀地質实验室	270	晚泥盆世
2	21 B	同上	粉红色混染状黑云母花岗岩	"	265	晚泥盆世
3	90 a	哈乌尔河与得尔布尔河下游之间, $50^{\circ}27'$, $119^{\circ}40'$	黑云母花岗岩	"	230	石炭紀
4*	1457	吉林林南偏东15公里积宝沟内, $51^{\circ}17'$, $120^{\circ}3'$	黑云母花岗岩	"	186	晚二迭世
5	2171	左安格列河下游, $51^{\circ}33'$, $121^{\circ}13'$	閃长片麻岩	"	950 ± 100	震旦紀
6	1587	北二次河下游右岸支流吉岭大河上游, $51^{\circ}58'$, $121^{\circ}5'$	粗粒黑云母花岗閃长岩	"	205	二迭紀
7	21	吉岭大河河口以上2公里, $51^{\circ}50'$, $120^{\circ}58'$	黑云母石英閃长岩	"	187	晚二迭世
8	3216	漠河以西薩博日卡河上游, $53^{\circ}12'$, 122°	玫瑰色中粒黑云母花岗岩	"	235	石炭紀
9	3038	额尔古纳河下游西口子东南3公里, $53^{\circ}7'$, $120^{\circ}55'$	灰色中粒黑云母花岗岩	"	325	志留紀末期
10	43-93-4	老朝河中游左岸, 颖林集东南约50公里, $52^{\circ}44'$, $123^{\circ}5'$	細粒黑云母花岗岩	"	181	晚二迭世
11	23-254	北二次河中游右岸支流拜拉馬河河口, $52^{\circ}2'$, $122^{\circ}10'$	粉紅色眼狀块状黑云母花岗岩	"	240	早石炭世
12	3633 a	根河下游南侧上庫力附近, $50^{\circ}8'$, $120^{\circ}20'$	黑云母花岗閃长岩	苏联科学院地球化学与分析化学研究所	260	晚泥盆世
Bx.-3	1—3**	古納河河口太平镇附近, $51^{\circ}27'$, $120^{\circ}22'$	片麻状黑云母花岗岩	"	220	晚石炭世
Bx.-4	1—4	安格列河上游, $51^{\circ}32'$, $120^{\circ}50'$	灰白色黑云母花岗岩	"	220	晚石炭世
Bx.-5	1—1	吉林林南约15公里, $51^{\circ}16'$, $119^{\circ}57'$	斑状黑云母花岗岩	"	260	晚泥盆世
Bx.-6	1—2	吉林林东约2公里, $51^{\circ}20'$, 120°	片麻化斑状花岗岩	"	260	晚泥盆世

* 4号样品岩石不新鲜,且用以进行氩法测定的黑云母数量不足,故测定出的年代数字可能偏小。

** Bx. 3—Bx. 6 四个样品系 J18 队所采。

*** 表中“代表的大致地質年代”系根据 E. C. 布尔克勤尔 (Буркен) 所著《怎样测定岩石和地球的年龄》一书 (1956, 地质出版社) 所列“近似的地質年代表”为准。

(四) 燕山亚旋迴

古生代末,海水全部退出大兴安岭,经过三迭纪-早侏罗世一段相对宁静时期,自侏罗纪中期开始,本区地壳活动又趋剧烈,这就是燕山运动。燕山运动的规模及强度均相当巨大,其影响波及大兴安岭全区。但是这个时期的构造活动性质及形式已与前中生代大不相同,已经是准地台性质了,以断块运动及相伴随的断裂变动为特征,火山活动十分强烈,侵入活动亦极广泛,并有轻微的褶皱变形。断块运动的结果,使本区分解为一系列规模不等的隆起、坳陷及次一级的断块构造,相伴产生大量的断裂,深大断裂活动表现明显。断裂方向主要为北东向,其次为北西向,尚有近南北向及近东西向的两组断裂。褶皱多为短轴状的背斜与向斜,大部分呈北东向延伸。

大兴安岭北部比较明显的深断裂有二:得尔布干-呼玛河深断裂及嫩西深断裂。得尔

布干-呼瑪河深断裂位于額爾古納隆起和海拉爾坳陷以及上嫩江隆起及上黑龙江坳陷的結合地帶，呈北东方向延伸，在区域內的长度約600公里，向西南可能繼續伸延到呼伦池附近，向东北伸向苏联境內。沿深断裂分布有大量中生代的中基性火山熔岩及串珠状的燕山期侵入体，并有強烈的热液活动及矿化作用；与深断裂的活动有关产生一系列的次一级断裂构造及成羣的岩脉；深断裂两侧的地質构造及其发展历史有明显的差別。航空測量結果表明，断裂两侧磁場截然不同，同时是伽瑪高值与低值的交界带，这些也証实該深断裂的存在。嫩西深断裂的存在已被許多地質学家所公認，它呈北北东方向延伸于大兴安岭与松辽平原(包括嫩江平原)之間，沿断裂分布有大量中、新生代的玄武岩，并控制了东西两侧的地質构造发展历史。

上述两个深断裂都是长期活动的多旋迥深断裂。得尔布干-呼瑪河深断裂可能产生于古生代，新生代时仍有活动，但主要活动期在中生代。嫩西深断裂可能产生于中生代，新生代継續活動。就性質論，两者都是正斷層。

伴隨強烈而多次的断裂活動，產生了多期的火山噴發。晚侏羅世以中性及中基性熔岩的噴溢为主，早白堊世則以酸性及中酸性岩的爆发为特征。晚侏羅世以后，本区曾出現燕山早期的构造运动，使晚侏羅世的火山岩褶皺，并伴随有广泛的侵入活动。經過早白堊世初期短暫的宁静时期，在部分地区堆积了厚約200米的火山沉积岩，随后，火山活動又兴起。上侏羅統及下白堊統之間的不整合見于根河流域(图5)及其他一些地区。

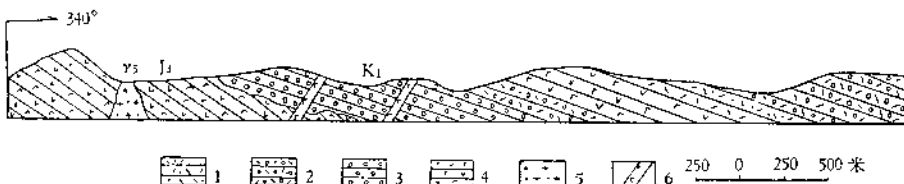


图5 根河中游冷布河西岸下白堊統与上侏羅統之間的不整合

1. 凝灰角砾岩、凝灰砂岩及凝灰岩；
2. 熔岩質火山角砾岩及凝灰岩；
3. 凝灰質砾岩；
4. 中基性熔岩；
5. 燕山期花崗斑岩；
6. 基性岩岩牆。

与断裂活動有关，还產生了大量的“裂隙型”侵入体，多呈岩株、岩牆及岩脉状产出，出露規模一般为几到几十平方公里，个别可达几百平方公里。它们往往沿断裂呈串珠状分布，或构成密集的岩牆羣。該期侵入岩的特点是成分极不均匀，大部分为浅成岩相，压碎、触变現象比較普遍。

燕山期侵入体也至少可以分出两期，一期侵入于上侏羅統，并被下白堊統所复盖；另一期則切穿早白堊世地层。根据118队所采样品經絕對年齡測定，侵入岩的年代界于0.95—1.3亿年(表4)。

燕山亚旋迥期內的沉积建造全部属准地台型，以陆相沉积岩及火山岩为主。但各个构造单元的沉积类型并不一致，甚至有很大区别。

上黑龙江坳陷主要为中、上侏羅統的砾岩、砂岩及泥質、炭質頁岩，总厚度接近7,000米，坳陷南緣有晚侏羅世及早白堊世火山岩，不整合蓋在中、上侏羅統之上。在中、上侏羅統的頁岩及砂岩中含有丰富的植物化石、少量瓣鳃类及腹足类化石。植物化石經鑑定主要有：*Cladophlebis ex gr. haiburnensis* Brongn., *Onychiopsis cf. elongata* Geyl., *Coniopteryx*

表 4 大兴安岭燕山期侵入岩绝对年龄测定结果

编 号	取 样 地 点	岩 石 名 称	测 定 单 位	绝 对 年 龄 (百 万 年)	代 表 的 大 致 地 质 年 代
Bx. 18	八大关	花岗岩	全苏地质研究所	95 105	早白垩世
Bx. 20	特尼河村西北	石英正长岩	”	125 115	白 垩 纪
Bx. 21	得尔布尔河上游砾石矿	花岗岩	”	105	早白垩世
Bx. 22	嘎拉湾	淡色花岗岩	”	130	晚侏罗世
Bx. 24	努呼河	花岗岩	”	95	早白垩世
Bx. 25	花岗山	花岗岩	”	115	早白垩世
Bx. 31	嘎娘山	流纹岩	”	110	早白垩世
Bx. 32	哈拉哈河右岸	斑状花岗岩	”	125	白 垩 纪

注：1. 以上系各侵入岩中钾长石的绝对年龄值，鉴定者(Н. И. Полевая)认为，此法所测结果年代数字常偏低。

2. 上表中后两个样品采于所述地区以南，在此列入供参考。

3. 表中“代表的大致地质年代”，根据 E. C. 布尔克耐尔所著《怎样测定岩石和地球的年龄》一书所列“近似的地质年代表”为准。

sp., *Ginkgoites sibiricus*, *Nilssonia* sp., *Anomozamites* sp., *Podozamites lanceolatus*, *Raphelia diamensis*, *Pityophyllum* ex. gr. *nordenskioldii* Heer, *Desmiophyllum* sp.。瓣鳃类有一种似为 *Ferganoconcha* (?) sp. 或 *Arguniella* (?) sp.¹⁾。

海拉尔坳陷及大杨树断陷以晚侏罗世及早白垩世的火山岩建造为主，局部地区有火山沉积岩，厚度变化极大，最大总厚度可达4,500余米。地质部大兴安岭东坡地质队于1960年在区域东南部阿伦河上游那克塔一带晚侏罗世火山岩的炭质页岩、粉砂岩及油页岩的夹层中采到大量动植物化石，经鉴定有：鱼类 *Lycoptera davidi* (Sawage); 昆虫 *Ephemeropterys trisetalis* Eichwald, *E. orientalis* Eichwald; 叶肢介 *Bairdestheria middendorffii* (Jones), *B. jeholensis* (Kobayashi et. Kusumi), *B. elongata* (Ko. et. Ku.), *B. intermedia* (Ko. et. Ku.), *B. longissima* Novojilov, *Pseudograptia murchisoniae* (Jones), *Liograptia jurassica* Novojilov (以上为谢利元鉴定); 植物 *Czekanowskia rigida* Illeer, *Cz. setacea* Heer (周惠琴鉴定)。在大兴安岭西坡根河中游早白垩世地层中发现保存不完整的 *Estheria* sp., 我们及118队曾在根河下游拉布达林地区的同一地层中找到植物化石：*Podozamites lanceolatus* L. et. H., *Cladophlebis* sp., *Coniopteris hymenophylloides* Brong., *Coniopteris burejensis*, *Pityophyllum* cf. *lindstromi* Nathorst, *Stenorachis* sp.^[2]。

额尔古纳隆起及上嫩江隆起则主要为零星出露的沉积-火山岩建造，个别盆地出现磨拉石建造。118队曾在额尔古纳隆起哈乌尔河下游凝灰质页岩中发现 *Ephemeropterys trisetalis* Eichwald, *E.* sp., *Ginkgoites* cf. *Sibirica* (Heer)。

整个大兴安岭尚未证实有三迭纪-早侏罗世沉积，上白垩统亦分布不广。

燕山期柔性变形主要是短轴状褶皱，规模不大，比较开阔，翼部倾角20°—30°，个别达40°，大多为对称状褶皱，个别有倾臥现象(图6)，长轴多为北东向。

1) 这些化石系中国科学院黑龙江流域综合考察队采集，植物化石分别由 B. A. 丘赫拉梅耶夫及徐仁鉴定，瓣鳃类系中国科学院地质古生物研究所陈楚震鉴定。

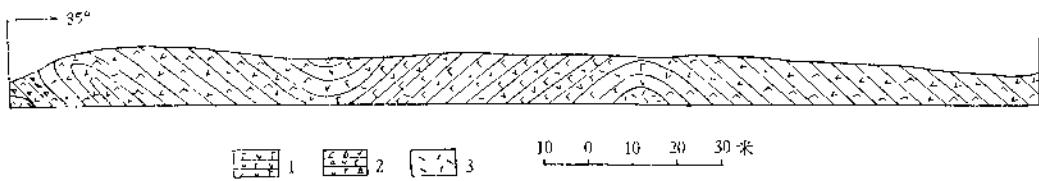


图6 根河上游北岸晚侏罗世火山岩所形成的褶皺

1. 灰紫色強烈碳酸盐化之中基性熔岩；
2. 中基性熔岩角砾岩；
3. 灰白色石英斑岩，其中含中基性熔岩角砾。

(五) 喜馬拉雅旋迴

自晚白堊世开始，区域内部的构造分异作用已很微弱，主要表现为全区性的、間歇性的上升运动，仅区域东部个别小型山间盆地中堆积了河湖相碎屑沉积。此时，断裂活动仍很明显，火山活动已甚微弱，侵入活动已經絕迹。

断裂活动主要表现为“古老”断裂的复活，如得尔布干—呼瑪河深断裂、嫩西深断裂等。断裂大部分仍呈北东—北北东向，东部产生一系列北西向断裂，并沿断裂产生晚白堊世—老第三紀及第四紀玄武岩，它们不整合产于較老地层之上，产状极平缓(图7)。

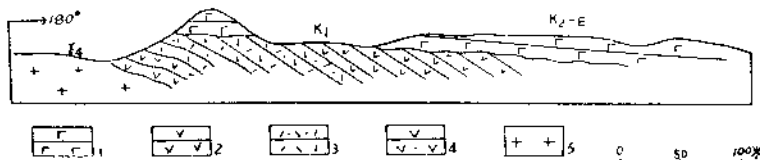


图7 古里河北岸早白堊世—第三紀玄武岩与下白堊統层不整合

1. 黑色杏仁状玄武岩及多孔状玄武岩互层；
2. 安山岩；
3. 酸性凝灰岩；
4. 中性凝灰岩；
5. 黑云母中粒化岩岩。

三、构造单元的划分

目前，对大兴安岭大地构造单元的划分仍然存在着分歧。分歧的焦点在于：划分构造单元时应以地壳发展的哪一阶段为标准。对本区构造单元划分及命名，基本有两类意见：一些人主张以褶皺“僵化”期，即华力西期构造为主要标志，划分为褶皺带、地槽带、复背斜及复向斜、槽背斜及槽向斜、地背斜及地向斜等；另一些人则主张以中生代构造为标准，命名为隆起、坳陷等(見表1)。

作者同意后一种意见，原因是在本区特别是坳陷区，前中生代构造多被掩盖，其构造輪廓及形迹已很难查考。相反，中生代发展起来的隆起、坳陷构造极为明显，它们在地质结构、沉积建造、活動强度以及成矿作用等方面各具特色，很容易区分，同时也便于进行成矿规律的研究。

根据中生代构造特点，可以把本区划分为四个較大构造单位：上黑龙江坳陷、額爾古納隆起、海拉尔坳陷和上嫩江隆起(見图1)。

(一) 上黑龙江坳陷

位于黑龙江上游，大兴安岭北端，呈东西向跨据中苏两国，長約 500 公里，寬 50—160

公里。在我国境内約有 30,000 平方公里。其南以得尔布干-呼瑪河深断裂及漠河-呼瑪大断裂与下述之上嫩江隆起及額爾古納隆起相銜接。

坳陷內分布最广的地层是中、晚侏罗世的砾岩、砂岩、泥质及炭质页岩，其中含有大量植物化石，厚度可达 7,000 米左右。南部边缘分布有厚約 1,000 米左右的晚侏罗世及早白垩世的火山岩，不整合盖于中、上侏罗统之上。部分地区由于断裂及侵入体的影响，使前中生代地层出露地表，但面积不大，分布零散。局部地区尚分布有面积不大的晚白垩世—老第三紀的松散砂、砾沉积及玄武岩。燕山运动使这些地层产生短軸状褶皺，翼部倾角 30° 左右。又由于断裂的影响，使岩层产状变得十分紊乱，断裂方向多为北东向及近东西向，并有大量规模較小的北西向及南北向断裂或裂隙，侵入岩及脉岩多沿这些小型断裂及裂隙貫入，构成纵横交错的岩墙、岩脉羣。

漠河以西及坳陷东部出露有燕山期花崗岩类侵入体，一般只有几到几十平方公里，最大的郎林山岩体也不过百余平方公里。它们侵入于中、上侏罗统，并使之产生強烈的接触变質，使砂頁岩变为千枚岩、板岩甚至片岩。

上述資料表明，上黑龙江坳陷的形成可能开始于中侏罗世初期，它是在华力西期上黑龙江复向斜的基础上发展起来的，同时还囊括了額爾古納复背斜的东北端。沉积建造性質及其巨大厚度說明，坳陷沉降速度較快，幅度較大，并具有震荡运动的性质。

(二) 額爾古納隆起

位于額爾古納河两侧，自中、苏、蒙三国交界地带向东北延伸，直抵額爾古納河口及阿穆尔河上游。長約 500 公里，寬 50—150 公里，面积約 60,000 平方公里，我国境内約占一半以上。东南以得尔布干-呼瑪河深断裂与海拉尔坳陷相接，东北端以漠河-呼瑪大断裂与上黑龙江坳陷分界。但由于一系列北西向及北东向断裂的影响，它们之間的界綫很不規整。

前已叙及，这个隆起于早古生代时即呈内地背斜状态，华力西运动以后形成巨大的复背斜构造。

隆起主要由几个巨大的、互相連接的华力西期花崗岩体所組成。各时代地层出露极少，且分布零星。前寒武系仅見于北二次河下游、額爾古納河中下游及盘古河上游等地，由厚約 500 米的片麻岩、結晶片岩及少量大理岩組成。下古生界較广泛地出露于北二次河下游、烏兰山及吉勒穆图附近，主要为各类片岩及大理岩，夹片理化中基性火山岩，总厚度达 4,000 米。泥盆系大多呈孤立的殘留体分布于哈烏爾河下游、吉勒穆图附近及隆起的东北边缘等地，主要为輕变質的砂頁岩及石灰岩，最大出露厚度 2,700 米。下石炭統仅見于隆起的西南部烏兰山及紅水泉附近，为厚 375—1,200 米的砾岩、砂岩及石灰岩。在为数不多、規模不大的上迭盆地及地壘向斜内堆积了侏罗紀及白垩紀沉积，北部为中、晚侏罗世的砂砾岩，南部及东南部则主要为晚侏罗世及早白垩世的火山岩及火山沉积岩。这里缺失中、上石炭統、二迭系、三迭系及下侏罗統。此外，尚有燕山期侵入体。

前中生代地层构成隆起的基底，由于侵入体的貫穿及断裂的切割，基底构造变得支离破碎，它们一般均遭受到不同程度的褶皺变質作用，形成綫状或短軸状褶皺。蓋层构造比較简单，主要由中、上侏罗统及上侏罗统一下白垩统組成，它们呈明显不整合盖于較老地

层及华力西花岗岩之上，岩层产状一般 10° — 15° 。

几条北东向的大断裂把隆起切割为三个活动强度不同的断块。总的看来，西北部比较稳定，向东南活动性逐渐加强，在其与海拉尔坳陷的衔接地带构造活动最为强烈，断裂纵横交错，中生代侵入岩及火山岩分布广泛，并出现一系列的岩墙、岩脉群，与其有关，产生强烈的矿化现象。

(三) 海 拉 尔 坳 陷

界于额尔古纳隆起及上嫩江隆起之间，系由呼伦贝尔高平原延伸过来的巨型坳陷，所述地区仅其东北的一部分，在本区的宽度约100—200公里。它是在华力西期间同名复向斜的基础上发展起来的，主要沉陷阶段在晚侏罗世—早白垩世。

坳陷几乎全部被晚侏罗—早白垩世的火山岩所充填，并广泛出露有燕山期小型侵入体。基底构造多被掩盖，仅根河下游及其他个别地区出露有小面积的前中生代地层及华力西期花岗岩类。

上侏罗统大多出露于坳陷边缘或背斜轴部，以中性、中基性熔岩为主，有少量酸性火山岩，最大可见厚度2,700米。下白垩统主要为酸性火山碎屑岩，夹中酸性熔岩，大片出露于坳陷区的中部。局部地区于下白垩统底部分布有凝灰质砾岩及砂页岩，厚度200米左右。下白垩统厚度一般为几百到1,000米，最厚可达2,300米。这些岩层受燕山运动的影响，产生一系列北东向的短轴褶皱，翼部倾角 20° 左右。

坳陷的形成、发展，剧烈而广泛的火山喷发以及广泛的侵入活动，看来与该区中生代的强烈断裂活动有密切关系。多次的断裂活动导致多期的火山喷发及岩浆侵入。盖层的岩相及厚度变化表明，海拉尔坳陷的沉降幅度很不均匀，西北翼沉降幅度较大，上侏罗统一下白垩统的总厚度可达4,000余米，愈向东南沉降幅度逐渐变小，盖层厚度变薄，部分地区基底构造直接出露地表。看来，它是一个略向西北倾斜的坳陷。

(四) 上 嫩 江 隆 起

这是一个位于嫩江上游、跨据大兴安岭东北部及小兴安岭西北部的巨型隆起，由阿伦河上游向东北，一直延伸到黑龙江边。隆起内部的构造比较复杂，由一系列次一级的断块构造所组成。根据中、新生代构造活动特点，可以嫩西深断裂为界，把隆起分为东西两部分，东部前中生代地层发育，基底构造表现明显，中生代末至新生代初有过明显的沉降运动。本文将只论述隆起的西部。

隆起西部燕山运动比较明显，断裂及岩浆活动比较强烈，燕山期构造分异活动的结果，使隆起分解为三个次一级的断块：呼玛河凸起、上甘河凸起及大杨树断陷。

1. 呼玛河凸起 大致呈东西向分布于呼玛河下游，面积约5,000平方公里。主要由华力西期花岗岩类组成，零星出露有前寒武纪及古生代地层，盖层主要为晚白垩世—早第三纪的玄武岩及新第三纪的砂砾沉积，并有一系列小型燕山期侵入体。以漠河—呼玛大断裂及一条北西西向的晚侏罗世火山岩带与上甘河凸起分开。

2. 上甘河凸起 呈北北东向延伸于伊勒呼里山与阿伦河上游之间，长约350公里，宽80—100公里。主要由华力西期花岗岩类组成，零星出露有前寒武纪及古生代地层。

前寒武系为厚达 3,200 米的片麻岩、结晶片岩系；下古生界厚度 3,000 米左右，主要为各类片岩及大理岩；下、中泥盆統为砂頁岩及石灰岩，厚度 5,000 余米；上泥盆統以海底噴发岩为主，部分地区有石灰岩及砂岩，厚度可由几百米到 2,800 米；石炭-二迭系見于嫩江上游及阿伦河中游，以砂頁岩为主，夹炭質頁岩，厚度 5,000 余米。在一些上迭盆地、地壘向斜中，或沿断裂带分布有晚侏罗世及早白堊世的火山岩，厚度一般只有几百米。

凸起被一系列北北东及北西向断裂所割切，沿断裂带分布有燕山期侵入体、岩墙及岩脉，不少地区岩墙、岩脉成羣出現，十分密集。沿一些北西向断裂尚出現第四紀的河谷玄武岩，并保存有完整的火山口。

3. 大楊樹斷陷 位于葛根台与朝阳屯之間，北至那都里河上游，南迄阿伦河中游，宽 50 余公里，長約 300 公里。这是一个中生代发展起来的、新生代初繼續活动的断陷带，其产生与发展受嫩西深断裂的控制。其中主要堆积了晚侏罗世及早白堊世火山岩，厚度 2,000 余米，局部地区分布有晚白堊世—早第三紀的玄武岩及晚第三紀的松散砂砾沉积。

四、結 語

綜上所述，对大兴安岭北部地質构造及其发展特征可以作如下初步結論：

(1) 大兴安岭北部是中国地台与西伯利亚地台之間的“蒙古-鄂霍次克褶皺帶”的組成部分，它基本属于华力西地槽褶皺帶，但是遭受到燕山运动的強烈改造。因此，确切些說，大兴安岭北部应是一个在华力西地槽褶皺基础上的燕山期隆起坳陷区。

(2) 大兴安岭北部的地壳发展历史，目前只能追溯到 10 亿年左右，即震旦紀初期。震旦紀以来的整个发展史是一部由准地槽向准地台过渡的历史，而且是一个多旋迴的发展过程。其中以华力西旋迴及燕山亚旋迴最重要。前者結束了准地槽的生命，开创了本区构造发展历史的新紀元，后者奠定了准地台的发展特点。

准地槽发育阶段至少包括了阿森特、加里东、华力西三个旋迴，其主要特点是：1) 以不甚強烈的褶皺变形为主，形成綫状，局部为短軸狀褶皺；2) 主要为浅海相的碳酸盐、泥質頁岩、砂頁岩及类复理石建造，厚度不大，但岩相及厚度变化較大；3) 华力西期岩浆侵入活动十分強烈，但基性及超基性岩极不发育；4) 区域变质較普遍，但很輕微，且随着时代的由老到新，岩石变质程度由深变浅。动力及接触变质比較明显；5) 具有多旋迴褶皺运动及岩浆活动。

准地台发育阶段至少包括燕山及喜马拉雅两个亚旋迴。其主要特点为：1) 基底僵化程度較低，构造分异活动十分显著，主要表现为断块运动；2) 主要为陆相的火山岩、砂頁岩、类磨拉石及含煤建造，岩相及厚度变化都很大；3) 断裂变动普遍而強烈，深断裂表現明显，有輕微的褶皺作用，形成短軸狀褶皺；4) 岩浆活动強烈而广泛，有大规模的中酸性岩的噴发及普遍的花崗岩侵入；5) 主要为接触及动力变质，部分地区还相当強烈。

这里值得指出，本区准地槽向准地台的轉化过程并不是在短时期內一次完成的，而是由西北向东南逐漸迁移。

(3) 震旦紀以来的主要沉积阶段为：震旦紀、寒武紀—志留紀早期、泥盆紀一二迭紀、中侏罗世—早白堊世。主要的沉积間断期是：志留紀末—泥盆紀初、三迭紀—早侏罗世、晚白堊世—第四紀，可能还有震旦紀末期。区域西北部缺失中石炭世一二迭紀沉积。

(4) 地史上的岩浆活动频繁而强烈，具有多旋迴活动的特点，致使岩浆岩占据了本区80%以上的地区。主要的侵入期为：元古代末期、加里东期、华力西期及燕山期，其中华力西期最强烈，其次为燕山期。各期侵入岩均以花岗岩类为主，其次为闪长岩类，基性岩极少，尚未发现超基性岩。主要的火山活动期是：晚泥盆世、晚侏罗世—早白垩世，其次为震旦纪、早古生代及新生代。其中以晚侏罗世—早白垩世最强烈，其规律是以中基性岩的喷溢开始，以酸性岩的爆发告终。

(5) 中、新生代断裂活动广泛而剧烈，深、大断裂表现明显。断裂，特别是深、大断裂对本区中生代以来的构造发展，隆起坳陷的形成，岩浆活动以及成矿作用起了显著的控制作用。实际资料表明，本区四个主要构造单元的形成、发展明显地受两个呈“X”形交叉的深、大断裂——得尔布干—呼玛河深断裂及漠河—呼玛大断裂的控制。

(6) 震旦纪以来的构造发展既有一定的连续性，又有明显的阶段性。前者表现在构造的继承作用上，后者表现在构造的新生作用上。继承作用主要表现在各旋迴之间构造单元及构造线的复合、岩浆活动性质及类型、成矿作用等方面。新生作用表现在沉积建造、构造活动形式及强度以及构造单元布局等方面。燕山期构造的新生作用特别显著，形成的构造十分特殊，并出现不同的构造格局。

最后应说明，本区过去基本处于地质研究上的“空白”区，可资参考的资料极少，根据几年来的概略调查研究提出一些初步看法，恳请读者指正。本文图件由杨芸、赵梅馨同志帮助清绘，在此致谢。

(收稿日期：1962年12月)

参 考 文 献

- [1] 中国科学院地质研究所 1959 中国大地构造图。比例尺1:4,000,000。科学出版社。
- [2] 宁奇生、唐克东、曹从周、张梦岩 1959 大兴安岭区域地层。大兴安岭及其邻区区域地质与成矿规律。地质出版社。
- [3] 宁奇生 1959 大兴安岭构造带及地质发展史。大兴安岭及其邻区区域地质与成矿规律。地质出版社。
- [4] 西尼村 B. M. 1948 中国陆台的构造及其发展。地壳发展的规律性与区域大地构造(1955)。科学出版社。
- [5] 西尼村 B. M. 1954 中国大地构造的轮廓。地质学报, 第34卷3期。
- [6] 西尼村 B. M. 1956 中国大地构造的基本轮廓。地质译丛, 第7期。
- [7] 李四光 1939 中国地质学(张文佑编译, 1953)。正风出版社。
- [8] 陈国达 1960 地台活化说及其找矿意义。地质出版社。
- [9] 唐克东 1959 大兴安岭中、北部的花岗岩类侵入岩。大兴安岭及其邻区区域地质与成矿规律。地质出版社。
- [10] 马杏垣、游振东、谭应佳、杨巍然、李东垣、吴正文 1961 中国大地构造的几个基本问题。地质学报, 第41卷1期。
- [11] 黄汲清 1945 中国主要地质构造带(中文第二版, 1955)。地质出版社。
- [12] 黄汲清、姜春发 1962 从多证据构造运动观点初步探讨地壳发展规律。地质学报, 第42卷2期。
- [13] 谢音曼Ю. М. 1937 论中国地壳的历史。地壳发展的规律性与区域大地构造(1955)。科学出版社。
- [14] 榆德谦 1954 中国大地构造与矿产分布。地质学报, 第34卷3期。
- [15] 张德清 1959 中国地盾。地质出版社。
- [16] 霍敦多夫斯基 A. C. 1953 中国东部地质构造基本特征。地质学报, 第32卷4期。
- [17] Арсеньев, А. А., Буфф, Й. С., Лейтес, А. М. 1958 Геологическое строение Читинской области. Изд-во АН СССР.
- [18] Козеренко, В. Н. и Локерман, А. А. 1958 Об ордовических отложениях юго-восточного Забайкалья. Доклады АН СССР, т. 123, № 6.
- [19] Нагибина, М. С. 1958 Схема стратиграфии юрских и меловых отложений верхнего течения р. Амура. Изв. АН СССР, сер. гео, № 7.
- [20] Падалка, Г. Л. 1958 Геотектоническое районирование и некоторые вопросы метатектона Юго-

- Восточного Забайкалья. Бюлл. ВСЕГЕИ, № 1.
- [21] Смирнов, А. М. 1958 О сочленении монголо-охотского и тихоокеанского геосинклинальных поясов и китайской платформы. Изв. АН СССР, сер. гео. № 5.

ГЕОТЕКТОНИЧЕСКИЕ ОСОБЕННОСТИ СЕВЕРНОЙ ЧАСТИ БОЛЬШОГО ХИНГАНА И ЕЕ ПОЛИЦИКЛИЧЕСКОЕ РАЗВИТИЕ

Ли Тин-дун

(Резюме)

В данную статью входят следующие части:

- 1) характер геотектоники Б. Хингана;
- 2) полициклический процесс геотектонического развития;
- 3) тектоническое районирование;
- 4) заключение.

В первой и во второй частях работы кратко изложены различные точки зрения о тектоническом характере Б. Хингана, представленные китайскими и зарубежными геологами. Автор разделил историю тектонического развития района на две крупного этапа: парагеосинклинальный и параплатформенный.

В первом включены три тектонические цикла—ассинтский (*assintian*), каледонский и герцинский, а во втором—яньшаньский и гималайский подциклы.

В III-й части статьи на основании мезозойских структур весь район разделен на четыре тектонических элемента: верхне—хейлунцзянский прогиб, аргунское поднятие, хайларский прогиб и верхне-нуныцзянское поднятие.

В IV-й части статьи изложены тектонические особенности района и сделаны следующие предварительные выводы:

- 1) рассматриваемый район в основном представляет собой герцинскую складчатую зону, подвергавшуюся интенсивному переобразованию яньшаньского движения;
- 2) тектоническое развитие района характеризуется ясной полицикличностью;
- 3) главные перерывы в осадконакоплении после досинийского периода проявились в следующих периодах: конец силура—начало девона, триас—ранняя юра, и поздний мел—четвертичный период;
- 4) в истории геологического развития проявлялась интенсивная и полициклическая многофазная магматическая деятельность. Главными циклами интрузивного магматизма являются герцинский и яньшаньский, а наиболее интенсивная вулканическая деятельность происходила в период от поздней юры до раннего мела;
- 5) широкая и интенсивная деятельность разрывных нарушений возникла в мезокайнозойское время с образованием хорошо развитой системы глубинных разломов;
- 6) тектоническое развитие рассматриваемого района после досинийского периода имеет определенную наследованность, однако мезозойское характеризуется новообразованиями.